

## تهیه، شناسایی و تعیین ساختار بلوری پلیمر کثوردیناسیونی جدید از فلز روی دارای لیگاند N-(۴-پیریدیل)ایزونیکوتین آمید

سیده ارغوان ابوالقاسم پور، علیرضا سلیمی\*، علی نخعی پور

گروه شیمی، دانشکده علوم، دانشگاه فردوسی مشهد، مشهد، ایران

(دریافت مقاله: ۹۸/۱۲/۵، نسخه نهایی: ۹۹/۲/۱۵)

چکیده: در این پژوهش، پلیمر کثوردیناسیونی جدید از واکنش کلرید روی و ترکیب کربوکسامید  $L^{NPI}$ -N-(۴-پیریدیل)ایزونیکوتین آمید تهیه شد و با استفاده از طیف‌سنجی تبدیل فوریه فرسخ (FT-IR)، تجزیه‌ی عنصری (CHN)، میکروسکوپ الکترونی روبشی (SEM) و پراش پرتو ایکس نمونه‌ی تک‌بلور شناسایی گردید. نتایج نشان داد که ترکیب  $[ZnCl_2(L^{NPI})_n]$  با ساختار پلیمر یک بعدی به صورت زنجیره‌ی زیگزاگی در سیستم بلوری راستگوشی (با گروه فضایی  $Pca2_1$  متبلور شده است. بررسی برهم‌کنش‌های بین‌مولکولی و تحلیل سطح هرشفلد در ساختار بلوری ترکیب نشان داد که پیوند هیدروژنی Zn-Cl...H-N نقش موثری در پایداری زنجیره‌ای پلیمری در ساختار انباسته‌ی بلوری دارد. به منظور درک بهتر ساختار مولکولی و ویژگی‌های الکترونی لیگاند و کمپلکس، محاسبات بر پایه نظریه تابعی چگالی (DFT) نیز انجام شد.

واژه‌های کلیدی: پلیمر کثوردیناسیونی؛ کربوکسامید؛ تک بلور؛ پیوند هیدروژنی؛ نظریه تابعی چگالی.

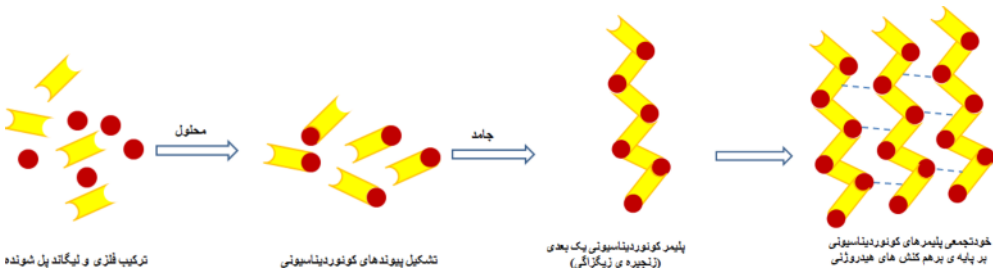
دانشمندان قرار گرفته‌اند. در این دسته از ترکیب‌ها، واحدهای سازنده که شامل یون‌های فلزی و لیگاندهای آلی هستند با پیوندهای کثوردیناسیونی به هم متصل هستند. کمپلکس‌ها با ایجاد برهم‌کنش‌های غیرکووالانسی با هم در یک، دو یا سه بعد، چارچوب‌های با هندسه‌های گوناگون تشکیل می‌دهند (شکل ۱). پیوندهای هیدروژنی، هالوژنی، انباستگی-های  $\pi\cdots\pi$ ،  $\pi\cdots\pi$ ، برهم‌کنش‌های فلز-فلز-فلز... از مهم‌ترین برهم‌کنش‌های غیرکووالانسی در تشکیل پلیمرها هستند [۱۲-۸]. شناسایی برهم‌کنش‌های ممکن بین گروه‌های عاملی گوناگون می‌تواند در پیش‌بینی ساختارهای بلوری موثر باشد [۱۳، ۱۴]. در این راستا، پیوند هیدروژنی به دلیل جهت‌دار بودن و قدرت بالا نقش مهمی در انباستگی مولکولی ایفا می‌کند. در یک تعریف کلی، این برهم‌کنش نتیجه اشتراک اتم هیدروژن متصل به یک اتم الکترون خواه به عنوان دهنده (D) با اتم

### مقدمه

ساختار بلوری ترکیب‌های آلی و معدنی از اتصال واحدهای ساختاری خنثی یا یونی توسط برهم‌کنش‌های بین‌مولکولی به وجود می‌آیند. چیدمان واحدهای سازنده و ویژگی‌های ساختار ترکیب به نوع گروه‌های عاملی و برهم‌کنش بین آن‌ها در جامدات بلوری بستگی دارد. مهندسی بلور با شیمی فرامولکولی، بلورشناسی پرتوی ایکس، علم مواد و شیمی حالت جامد ارتباط نزدیک دارد [۲، ۱]. این زمینه‌ی پژوهشی به بررسی ساختارهای بلوری ترکیب‌های مختلف با دیدگاه کنترل و پیش‌بینی برهم‌کنش‌های بین‌مولکولی می‌پردازد [۳-۵]. امروزه مهندسی بلور با توانایی طراحی هدفمند ساختار جامدات بلوری به منظور دستیابی به ویژگی‌های دلخواه مغناطیسی، نوری و کاتالیزوری، به یک دانش بی‌مانند و جذاب در عرصه‌های علوم مختلف تبدیل شده است [۶، ۷].

پلیمرهای کثوردیناسیونی متخلف نواع ویژه‌ای از مواد فرآکووالانسی مولکولی هستند که در سال‌های اخیر، مورد توجه

\*تویینده مسئول، تلفن: ۰۵۱۳۸۸۰۵۵۴۴، نامبر: ۰۵۱۳۸۷۹۶۴۱۶، پست الکترونیکی: salimi-a@um.ac.ir



شکل ۱ طرحواره چگونگی تشکیل ساختار حفره‌ای پلیمر کثوردیناسیونی از ترکیب‌های اولیه.

می‌توان از این ترکیبات برای جداسازی گاز نیز استفاده کرد [۲۱، ۲۰]

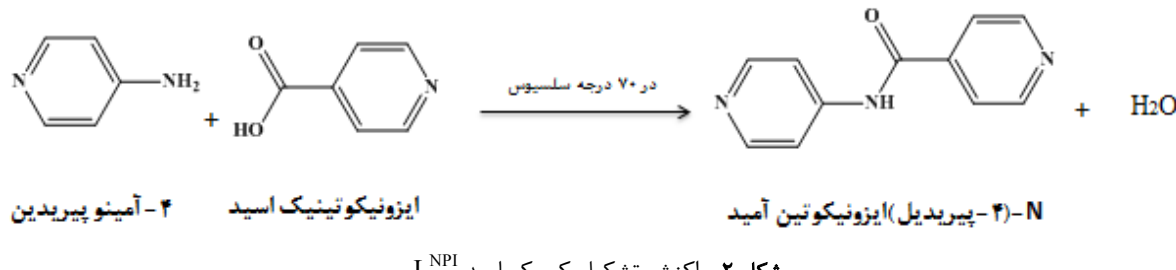
کربوکسامیدها که دسته‌ای از ترکیب‌های آلی با ساختار کلی  $R_CCONHR_N$  هستند (R یک استخلاف آلی یا هیدروژن است) به دلیل حضور گروه آمید  $-CONH-$ ، توانایی بسیاری برای تشکیل پیوند هیدروژنی دارند و از اهمیت ویژه‌ای برخوردار هستند. پایداری این ترکیب‌ها، خنثی بودن آن‌ها و نیز حضور هم زمان گروه دهنده و پذیرنده پیوند هیدروژنی اهمیت این ترکیب‌ها را در مهندسی بلور بیش از پیش نشان می‌دهد. اغلب ویژگی‌ها و واکنش‌های کربوکسامیدها را می‌توان به توانایی تشکیل پیوندهای هیدروژنی گروههای عاملی آن‌ها مربوط داشت [۲۲-۲۴]. شناخت نوع و قدرت برهم کنش‌های بین‌مولکولی نه تنها در طراحی و پیش‌بینی ساختار ترکیب‌ها مفید است، بلکه درک ماهیت دقیق این گونه برهم کنش‌ها در بررسی ویژگی‌های ترکیب‌ها نیز اهمیت بسیاری دارد.

گزارش کمی از تهیه ساختارهای پلیمری با لیگاند کربوکسامیدی N-(۴-پیریدیل) ایزو نیکوتین آمید منتشر شده است [۲۵]. در این پژوهش، پس از تهیه لیگاند کربوکسامیدی با یک روش جدید و بهینه (شکل ۲)، برای نخستین بار پلیمر کثوردیناسیونی با کلرید روی ( $ZnCl_2$ ) تهیه شد و ساختار آن از دیدگاه مهندسی بلور بررسی گردید. همچنین در این ترکیب، چارچوب ساختاری این پلیمر و برهم کنش‌های بین‌مولکولی موثر در تشکیل حفره‌های ساختاری بررسی شدند. بررسی‌های نظری براساس نظریه تابعی چگالی (DFT) ساختار لیگاند انجام شد و میزان جذب گاز هیدروژن توسط ساختار پلیمر کثوردیناسیونی متخلخل اندازه‌گیری گردید.

الکترون خواه دیگر به عنوان پذیرنده (A) است و به صورت  $D-H \cdots H-A$  نشان داده می‌شود. اتم A باید دارای یک جفت الکترون ناپیوندی باشد که با انتقال آن به اوربیتال پادپیوندی D-H، یعنی انتقال  $\sigma^* \rightarrow n_{\pi}$ ، موجب تشکیل این پیوند قوی می‌شود. قدرت و جهت‌گیری پیوند هیدروژنی در ترکیب‌های مختلف بر ویژگی‌های آن‌ها اثر دارد [۱۵-۱۹].

از سوی دیگر، یکی از کاربردهای ساختارهای مختلط جذب گازهای مختلف از جمله گاز هیدروژن است. هیدروژن از پاک‌ترین حامل‌های انرژی است که با اکسیژن می‌سوزد و بخار آب تولید می‌کند. با وجود این که هیدروژن می‌تواند نیاز بشر را به سوخت‌های فسیلی کاهش دهد، اما به دلیل شرایط سخت ذخیره‌سازی، هنوز به طور اقتصادی به کار گرفته نشده است. از میان روش‌های عمدۀ برای ذخیره هیدروژن که مایع‌سازی و متراکم نمودن گاز و استفاده از مواد جاذب، بررسی پیرامون ترکیب‌هایی که می‌توانند به صورت بستره مخلخل موجب جذب و رهاسازی گاز هیدروژن شوند بیشتر مورد توجه قرار گرفته است. از جمله مواد جاذب برای ذخیره هیدروژن هیدریدهای فلزی، نانولوله‌های کربنی، کربن فعال، زئولیت‌ها و ساختارهای آلی فلزی هستند. در طی سال‌های اخیر، طراحی و تهیه پلیمرهای کثوردیناسیونی و چارچوب‌های فلز-آلی به دلیل دارا بودن حجم بالای حفره و مساحت بالا توجه بسیاری را جلب کرده‌اند. این ساختارهای مخلخل که ابعاد تخلخلی قابل مقایسه با حجم مولکول‌های هیدروژن دارند چشم انداز جدیدی به دنیای ذخیره‌سازی گاز هیدروژن گشوده‌اند. حفره‌های تشکیل شده در پلیمرهای کثوردیناسیونی در اثر تشکیل پیوندهای کثوردیناسیونی و هیدروژنی امکان به دام افتادن مولکول‌های گاز در این حفره‌ها را فراهم می‌کند و در نتیجه



شکل ۲ واکنش تشکیل کربوکسامید L<sup>NPI</sup>

### روش‌های تجربی مواد و دستگاهها

#### روش تهیه

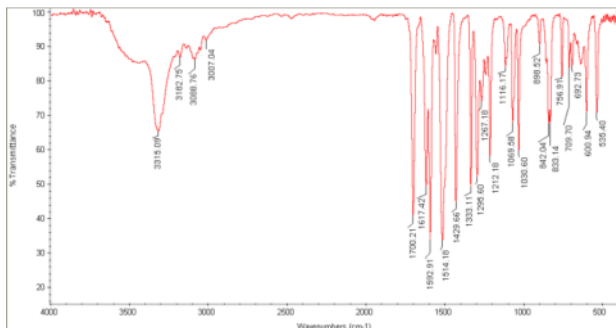
تهیه لیگاند L<sup>NPI</sup>-N-(۴-پیریدیل)ایزونیکوتین آمید

در این پژوهش برای افزایش فعالیت و بالا بردن بازده واکنش تهیه کربوکسامید، نخست ترکیب آلی اسید ایزونیکوتینیک به آسیل هالید تبدیل و سپس استفاده شد. به این منظور، ۴/۹۲ گرم معادل با ۴۰٪ میلی مول اسید ایزونیکوتینیک اسید به ۲۰٪ میلی لیتر کلرید تیونیل افزوده شد و به مدت یک ساعت در دمای ۷۰ درجه سانتی گراد تقطیر گردید که محلول شفافی به دست آمد. سپس کلرید تیونیل اضافی در خلاص نمونه خارج شد و جامد شیری رنگ که کلرید ایزونیکوتینیل بود، در بخش بعدی برای تهیه آمید به کار رفت.

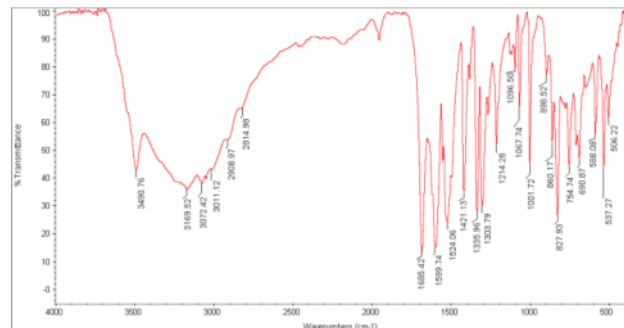
مقدار ۱۸٪ گرم کلرید ایزونیکوتینیل (۰/۰ میلی مول) و ۹/۴۰ گرم از ۴-آمینو پیریدین (۰/۱ میلی مول) در ۱۰۰ میلی لیتر تتراهیدروفوران خشک (THF) در دمای ۲۵ درجه سلسیوس برای ۲۰ دقیقه هم زده شد. سپس ۱۵٪ میلی لیتر تری اتیل آمین (TEA) به آن اضافه گردید. محلول به دست آمده در یک بالون به مدت ۶ ساعت در دمای ۷۰ درجه سانتی گراد تقطیر شده و سپس دمای محلول به دمای اتاق رسانده شد. سپس، رسوب بی رنگ به دست آمده که لیگاند L<sup>NPI</sup> بود، پس از صاف شدن خشک گردید. بازده تهیه این ترکیب با جرم مولی g/mol ۱۹۹ و دمای ذوب ۱۷۹-۱۸۱ درجه سلسیوس، حدود ۷۸ درصد محاسبه شد. برخی از نوارهای جذبی این ترکیب در طیفسنجی فروسرخ در ۳۴۹۰، ۳۴۹۰، ۲۹۰۸، ۱۲۱۴، ۱۳۰۴، ۱۳۳۶، ۱۴۲۱، ۱۵۲۴، ۱۵۹۹، ۱۶۸۵، ۲۸۱۴، ۱۰۶۸، ۸۶۰، ۸۲۸، ۷۵۵، ۵۸۸، ۶۹۱ Cm<sup>-۱</sup> و ۵۳۷ ۵۰۶ ظاهر شدند (شکل ۳ الف). داده‌های نظری و تجربی

مواد مورد استفاده در این پژوهش از شرکت‌های مرک (MERCK) و آلدريچ (Aldrich) تهیه شده و بدون هیچ خالص‌سازی استفاده شدند. همه حلال‌های لازم شامل تتراهیدروفوران (THF)، تری اتیل آمین (TEA)، تیونیل کلرید و متانول با خلوص تجزیه‌ای و بدون آب بودند و تنها ایزونیکوتینیل کلرید از آسیل دار کردن اسید ایزونیکوتینیک در آزمایشگاه به دست آمد و با روش خلائیت‌روزن مایع خشک شد. طیف‌های فروسرخ (cm<sup>-۱</sup> ۴۰۰۰-۲۵۰) لیگاند و کمپلکس با استفاده از قرص KBr با طیفسنج فروسرخ مدل EQUINOX 55 ثبت شدند. دمای ذوب ترکیب‌ها با دستگاه Rigaku Thermo SCIENTIFIC ساخت کشور انگلیس اندازه‌گیری شد و داده‌های تجزیه‌ی عنصری نمونه‌ها نیز با استفاده از دستگاه Heraeus CHN-O Rapid ساختار گرفت. جمع آوری داده و تصحیح جذب با گرافیتی انجام گرفت. با نرم افزار CrysAlisPro 1.171.39.31c [۲۶] انجام گرفت. با نرم افزار Olex2 [۲۷]، حل ساختار بلوری ترکیب پلیمری با پراش سنج پرتو ایکس مدل XtaLAB mini با لامپ مولیبден و مجهز به تک فامساز گرفت. جمع آوری داده و تصحیح جذب با استفاده از بسته نرم افزاری CrysAlisPro 1.171.39.31c [۲۸] و پالایش داده‌ها با برنامه SHELXS [۲۹] انجام شد. تصویر نمونه پودری با SHELXL [۲۹] انجام شد. تصویر نمونه پودری با میکروسکوپ الکترونی روبشی (SEM) از شرکت LEO (مدل 1450 VP) ساخت کشور آلمان تهیه شد. بررسی میزان جذب گاز هیدروژن با دستگاه ساخت دانشکده علوم دانشگاه فردوسی انجام شد. تحلیل سطح هرشفلد با نرم افزار Crystal Explorer17 [۳۰] و محاسبات نظری با نرم افزار Gaussian [۳۱] و براساس نظریه تابعی چگال (DFT) صورت گرفت.

تایید می کند.



شکل ۳ طیف فروسرخ (الف) لیگاند کربوکسامیدی  $L^{NPI}$  و (ب) کمیلکس  $[nCl_2(L^{NPI})]$

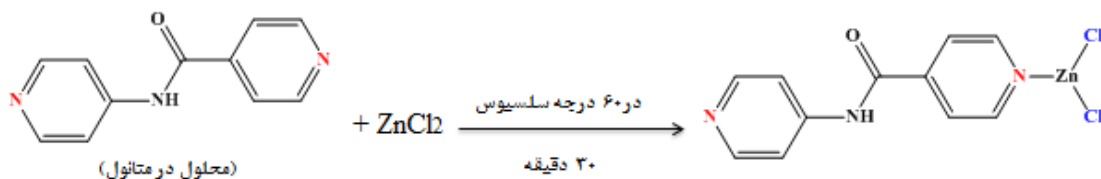


الف

حدوا، ۱ نتایج تجزیه، عنصری، (CHN) لیگاند.

عنصر	مقدادير نظري (درصد)	مقدادير تجربى (درصد)
C	٥٦,٠٦	٥٦,٤٥
H	٤,٢٨	٤,٥٧
N	١٧,٨٣	١٨,٢٤

برای شناسایی با پراش پرتوی ایکس دارای نقطه ذوب ۳۱۰ درجه سانتی گراد پس از ۲۰ روز از محلول متابول با تبخیر آهسته در دمای اتاق به دست آمد. داده های نظری و تجربی تجزیه هی عنصری در جدول ۲ آمده است که فرمول پیشنهادی کمپلکس را تایید می کند. نوارهای جذبی این ترکیب با طیف سنجی فروسرخ قرص این نمونه با KBr در ۳۳۱۵، ۳۱۸۳، ۳۰۰۷، ۳۰۸۹، ۱۷۰۰، ۱۶۱۷، ۱۵۹۲، ۱۵۱۴، ۱۵۱۴، ۱۴۲۹، ۱۳۳۳، ۱۲۱۲، ۱۰۳۰، ۱۰۶۹، ۷۵۶، ۸۴۲، ۷۰۹، ۶۰۰ و  $\text{cm}^{-1}$  ظاهر شد (شکل ۳ ب).



شکل ۴ واکنش تشکیل کمپلکس  $[ZnCl_2(L^{NPI})]_n$  (جایگاه‌های ممکن برای کثوردینه‌شدن لیگاند به فلز با رنگ قرمز نشان داده شده‌اند).

جدول ٢ نتائج تجزيء عنصري (CHN) تركيب بلوري  $[ZnCl_2(L^{NPI})]_n$

عنصر	مقادیر نظری (درصد)	مقادیر تجربی (درصد)
C	۳۹,۳۸	۳۹,۷۳

H	۲,۷۰	۲,۷۷
N	۱۲,۵۲	۱۲,۸۷

طیف‌سنجی فروسرخ این کمپلکس با داده‌های بلورشناسی پراش پرتو ایکس همخوانی دارد.

#### بررسی داده‌های بلورشناسی

داده‌های بلورشناسی به دست آمده از پراش پرتو ایکس بلورهای مناسب کمپلکس پلیمری  $[ZnCl_2(L^{NPI})_n]$  در جدول ۳ آمده است. نتایج نشان می‌دهد که این پلیمر در شبکه‌ی بلوری راستگوشی با گروه فضایی  $P\bar{c}a\bar{2}_1$  با پارامترهای یاخته یکه  $c=9.9173(18)\text{\AA}$ ,  $a=20.709(2)\text{\AA}$ ,  $b=6.2959(10)\text{\AA}$  متبولور شده است. پارامترهای تعیین کننده‌ی درستی برآش  $R_1$  و  $wR_2$  به ترتیب برابر با  $0.0437$  و  $0.1231$  و نشان دهنده‌ی دقیقت در تعیین ساختار بلوری هستند. با توجه به یافته‌های بلوری، واحد بی‌تقارن در ساختار بلوری ترکیب شامل یک مرکز فلزی روی (Zn) است که دو آئیون کلراید و یک لیگاند کربوکسامیدی  $L^{NPI}$  با نسبت  $1:1$  به آن کثوردینه شده‌اند. ساختار مولکولی این ترکیب در شکل ۵ نشان داده شده است. این ترکیب دارای اختلال ایستا در ساختار است، به طوری که مولکول لیگاند با ضریب اشغال شدگی  $0.53$  و  $0.47$  با جابجایی گروه آمیدی (CONH) دو جایگاه متفاوت را در ساختار کمپلکس نشان می‌دهد. به بیان دیگر، دو کمپلکس با ضرایب یاد شده همزمان در واحد بی‌تقارن دیده می‌شوند.

حلقه‌ی ایزونیکوتینیل و حلقه‌ی پیریدیل در یک صفحه نیستند و زاویه‌ی بین دو صفحه  $26.31$  درجه است (شکل ۶). هر یاخته یکه این ترکیب در بردارنده‌ی ۴ مولکول ( $Z=4$ ) شامل ۴ اتم روی، ۸ اتم کلر و ۴ لیگاند کربوکسامیدی است که ساختار انباسته‌ی آن در شکل ۷ نشان داده شده است. گزیده‌ای از فاصله‌ها و زاویه‌های پیوندی ساختار کمپلکس در جدول ۴ آورده شده است. قرار گرفتن این مقادیر در گستره‌ی متعارف این پارامترها، درستی ساختار به دست آمده را تایید می‌کند.

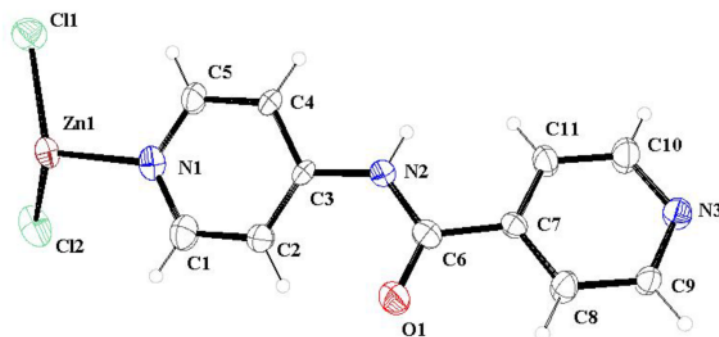
#### محاسبات نظری

برای تعیین ساختار و بررسی برهم‌کنش‌های غیرکووالانسی در ساختار کمپلکس پلیمری  $[ZnCl_2(L^{NPI})_n]$  از سطح سه بعدی هرشفلد و نمودارهای دو بعدی اثر انگشتی که از روش‌های تحلیل تصویری برهم‌کنش‌های بین‌مولکولی هستند و همچنین از محاسبات براساس نظریه تابعی چگالی (DFT) استفاده شد [۳۶-۳۲]. برای این منظور، ساختار کمپلکس با نرم افزارهای Gaussian 09 و Crystal Explorer 17 تحلیل گردید و برهم‌کنش‌های با اثر بیشتر بر انباستگی ساختار بلوری مشخص شدند [۳۷]. برای نخستین بار، ساختار و ویژگی‌های الکترونی لیگاند کربوکسامیدی  $L^{NPI}$  و اختلاف انرژی بین بالاترین اوربیتال مولکولی پر با پایین‌ترین اوربیتال مولکولی خالی (HOMO-LUMO) نیز با استفاده براساس تابعی چگالی 6- $B3LYP/311G(d,p)$  بررسی گردید.

#### بحث و بررسی

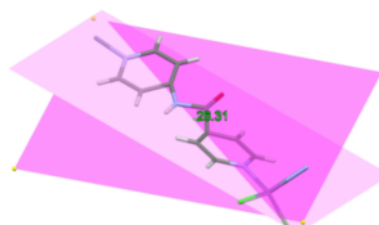
#### بررسی داده‌های طیف‌سنجی فروسرخ

بررسی داده‌های طیف‌سنجی فروسرخ، که در شکل ۵ نشان داده شده است تشکیل لیگاند  $L^{NPI}$  و کمپلکس  $[ZnCl_2(L^{NPI})_n]$  را تایید می‌کند. در طیف کمپلکس، نوار قوی در  $1514\text{ cm}^{-1}$  مربوط به ارتعاش خمشی پیوند N-H و نوارهای شاخص در  $1600\text{ cm}^{-1}$  تا  $1700\text{ cm}^{-1}$  به ارتعاش‌های گروه آمیدی شامل ارتعاش کششی C=O، ارتعاش کششی C-N و ارتعاش خمشی N-H نسبت داده می‌شود که در تشکیل پیوند هیدروژنی در کمپلکس جامد مشارکت دارند. مقایسه‌ی طیف‌های فروسرخ لیگاند و کمپلکس نشان می‌دهد که مد ارتعاشی کششی گروه کربونیل از  $1685\text{ cm}^{-1}$  در لیگاند به سمت بسامدهای بالاتر جابجا شده است. ارتعاش‌های N-H آمیدی لیگاند و کمپلکس نیز در گستره‌ی بسامدهای بالاتر از  $3000\text{ cm}^{-1}$  دیده می‌شود. در مجموع، نتایج به دست آمده از

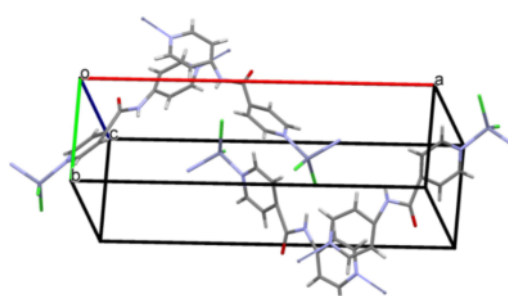


شکل ۵ نمایش بیضی گونهای گرمایی واحد بی تقارن کمپلکس  $[ZnCl_2(L^{NPI})]_n$  با احتمال ۰۳ درصد.جدول ۳ داده‌های بلوری ترکیب پلیمری  $[ZnCl_2(L^{NPI})]_n$ 

$[C_{11}H_9N_3OZnCl_2]$	فمولا، تحریر
۳۲۲.۹۴	جرم مولی (گرم بر مول)
۲۹۸	دهما(کلوین)
۰.۷۱۰۷۳	طول موج (انگستروم)
۰.۱۵۰۰۰۰۰۰۲۲	اندازه بلور (میلی متر مکعب)
راستگوشی	سیستم بلوری
$P\bar{c}a\bar{2}_1$	گروه فضایی
۰.۲۰۷۰۹(۲)	(انگستروم) a
۶.۲۹۵۹(۱۰)	(انگستروم) b
۹.۹۱۷۳(۱۸)	(انگستروم) c
۱۲۹۳.۰۴	حجم یاخته یکه ( $\text{\AA}^3$ )
۴	تعداد مولکول در یاخته یکه
۱.۷۲۳	چگالی (گرم بر سانتیمتر مکعب) F(000)
۶۷۲	
۰.۰۴۳۷	$R_1$
۰.۱۲۳۱	$wR_2$
۰.۰۴۰۶	$R_{int}$
۲۰.۶۱۸ تا ۱۹.۶۷	گستره‌ی $\theta$ جمع آوری شده (درجه)
۲.۳۰۱	$\mu (\text{mm}^{-1})$
-۰.۵۶۵	$\min \Delta \rho$
۰.۳۵۶	$\max \Delta \rho$
۱۹۹.۰۳۹	CCDC No.



شکل ۶ نمایش صفحه‌های دربردارندهی حلقه‌های ایزونیکوتینیل و پیریدیل.

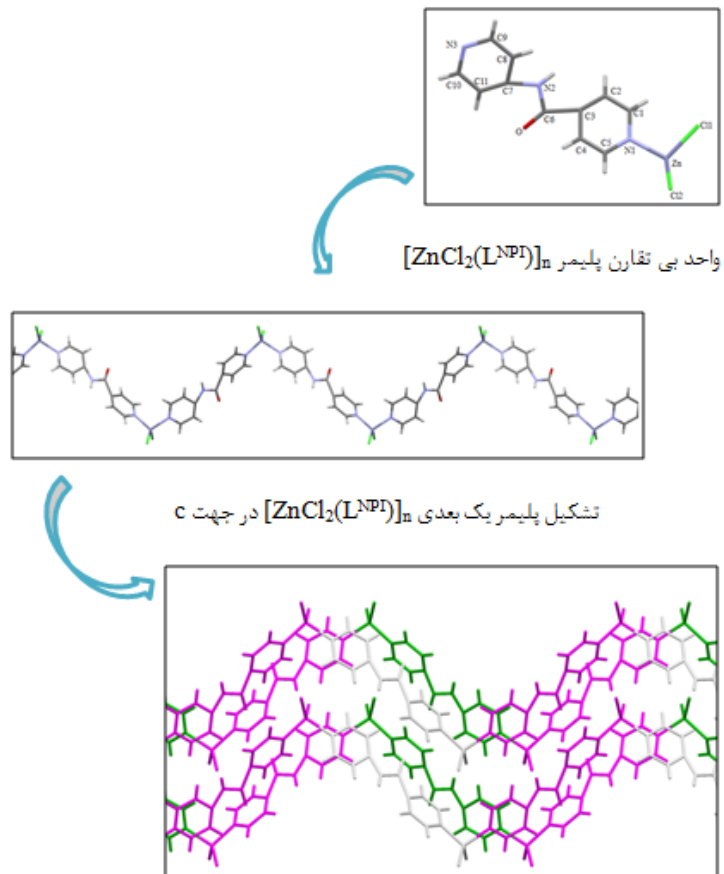
شکل ۷ نمایش یاخته یکه کمپلکس  $[ZnCl_2(L^{NPI})]_n$  با گروه فضایی  $P\bar{c}a\bar{2}_1$ جدول ۴ طول پیوندها (فاصله‌ها ( $\text{\AA}$ ) و زوایای پیوندی ( $^\circ$ ) در ترکیب پلیمری  $[ZnCl_2(L^{NPI})]_n$ 

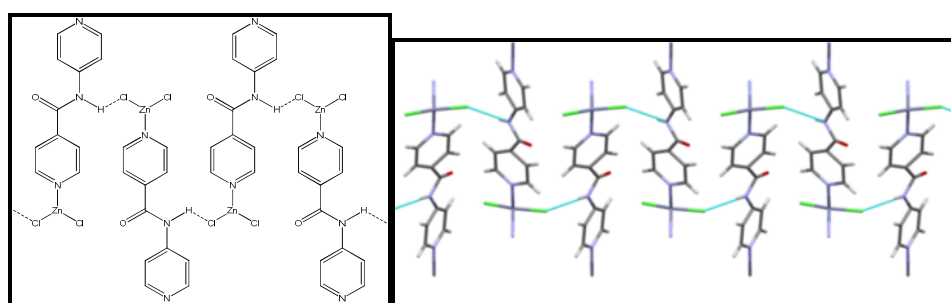
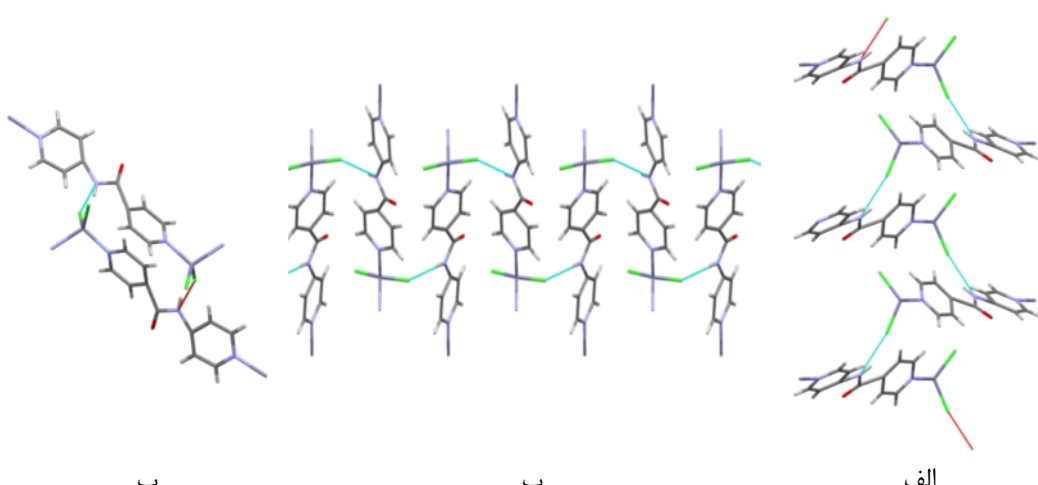
Zn-Cl1	۲.۲۱۰	C3-C6	۱.۷۵۲
Zn-Cl2	۲.۲۳۴	C6-O	۱.۲۳۱
Zn-N1	۲.۰۱۹	N2-H2	۰.۸۵۸
N1-C1	۱.۳۸۹	C6-N2	۱.۳۵۸
C9-N3	۱.۳۸۸	N2-C7	۱.۵۴۶
N1-Zn-N2	۱۰۴.۰۷	C1-N1-C2	۱۲۰.۱۲
Cl1-Zn-Cl2	۱۲۰.۷۵	C3-C6-N2	۹۷.۶۸

Cl2-Zn-N1	۱۰۶.۰۶	C6-N2-C7	۱۰۴.۸۹
Cl1-Zn-N1	۱۱۰.۱۶	C9-N3-C10	۱۱۹.۸۲

محورها در شکل ۱۰، هر مولکول کمپلکس در زنجیره به صورت سر به دم کنار مولکولی از زنجیره‌ی مجاور قرار داشته و برهم کنش هیدروژنی Zn-Cl···H-N بین دو زنجیر وجود دارد. تشکیل این پیوند هیدروژنی موجب گسترش و استحکام ساختار انباسته‌ی بلوری می‌شود. زنجیره‌های زیگزاگی ایجاد شده توسط انواع دیگری از برهم کنش‌های غیر کووالانسی نیز تقویت می‌گردند که از آن جمله می‌توان برهم کنش‌های C-H···O و C-H···Cl و C-H···C-H را نام برد. برهم کنش C-H···O موجب اتصال زنجیرها می‌شود به طوری که C-H حلقه‌ی اسیدی یک زنجیر با اکسیژن آمیدی زنجیره‌ی کناری برهم کنش دارد. چرخش و انحراف حلقه‌های لیگاند برهم کنش دیگری را بین C-H حلقه‌های لیگاند با Cl زنجیره‌ی دیگری از پلیمر موجب می‌شود. حضور این برهم کنش‌ها موجب پایداری هرچه بیشتر ساختار زنجیری می‌گردد. پارامترهای هندسی مهم مربوط به پیوندهای هیدروژنی موجود در ترکیب پلیمری در جدول ۵ آورده شده است.

در این ساختار، لیگاند کربوکسامیدی به واسطه اتم نیتروژن حلقه‌ی ایزونیکوتینیل با طول پیوند ۲۰۱۹ انگستروم به فلز مرکزی کئوردینه شده است. واحد بی‌تقارن این ترکیب با وجود دو نیتروژن برای کئوردینه‌شدن روی حلقه‌ها در راستای محور C گسترش یافته و پلیمر کئوردیناسیونی یک بعدی را در راستای محور C ایجاد می‌کند (شکل ۸). اتم Zn دارای محیط کئوردیناسیونی چهاروجهی انحراف یافته بوده که دو جایگاه آن با اتم‌های کلر و دو جایگاه دیگر با اتم‌های نیتروژن دو لیگاند کناری اشغال شده است. به این ترتیب، اتم Zn پلی بین دو اتم نیتروژن از دو لیگاند مختلف یکی از حلقه اسیدی و دیگری از حلقه‌ی آمینی بوده و زاویه‌ی N-Zn-N برابر با  $۱۰۴.۰۷^\circ$  و زاویه‌ی Cl-Zn-Cl برابر با  $۱۲۰.۷۵^\circ$  درجه است. چنان که در شکل ۹ نشان داده شده است اتم‌های کلر با پیوند هیدروژنی با گروه NH زنجیره‌ی کناری برهم کنش قوی دارند که این برهم کنش در ساختار بلوری کمپلکس از اهمیت ویژه‌ای برخوردار است. با توجه به ساختار بلوری ترکیب پلیمری در راستای



شکل ۸ نمایش انباشتگی پلیمر تک بعدی  $[ZnCl_2(L^{NPI})]_n$  در راستای محور c.شکل ۹ طرحی از چگونگی اتصال زنجیرهای پلیمر کثوردیناسیونی  $[ZnCl_2(L^{NPI})]_n$  در ساختار بلوری (پیوند هیدروژنی Zn-Cl...H-N مهم‌ترین برهم‌کنش غیر کووالانسی در انباشتگی ساختار بلوری کمپلکس است).شکل ۱۰ نمایش پیوندهای هیدروژنی پلیمر  $[ZnCl_2(L^{NPI})]_n$  در راستای (الف) محور a، (ب) محور b - محور c.جدول ۵ پارامترهای هندسی پیوندهای هیدروژنی بین‌مولکولی در ساختار ترکیب پلیمری  $[ZnCl_2(L^{NPI})]_n$ 

D-H...A	D-H(Å)	H...A(Å)	D...A(Å)	$\angle D-H...A(^{\circ})$
N2-H...Cl	۰,۸۵۸	۲,۴۸۶	۳,۳۲۷	۱۵۲,۷۲
C9-H...Cl	۰,۹۲۹	۲,۹۳۱	۳,۵۴۴	۱۲۴,۷۷
C1-H...O	۰,۹۲۹	۳,۰۰۸	۳,۱۵۷	۹۰,۵۹

توسط آشکارسازها به تصویر تبدیل شدند. دو تصویر از این نمونه‌ی پلیمری با مقیاس‌های ۲ میکرومتر و ۲۰۰ نانومتر در شکل ۱۱ و ۱۲ نشان داده شده است. براساس تصاویر به دست آمده، اندازه‌ی ذرات به طور میانگین  $3/4$  میکرومتر است.

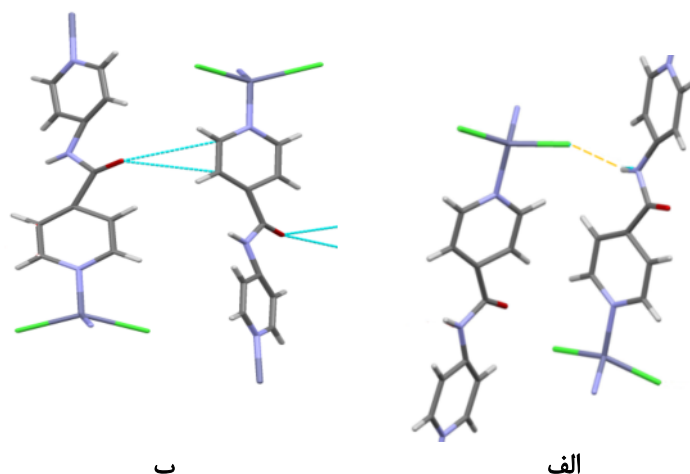
#### تحلیل سطح هرشفلد

بررسی دقیق‌تر برهم‌کنش‌های بین‌مولکولی موثر در انباشتگی بلوری ترکیب پلیمری تهیه شده با استفاده از تحلیل سطح هرشفلد و نمودارهای اثر انگشتی برای کمپلکس انجام شد. این

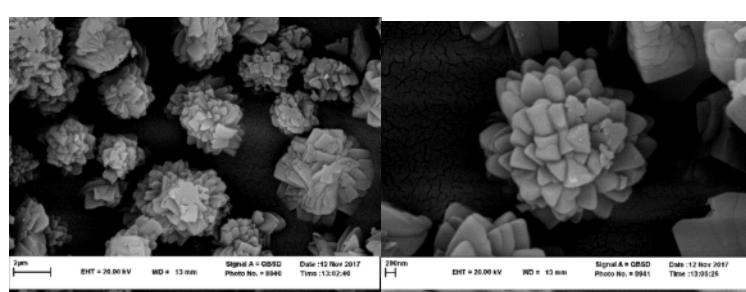
میکروسکوپ الکترونی روبشی از روش‌های قدرتمند برای بررسی اندازه و سطح ذرات است [۳۹,۳۸] که در این پژوهش برای تصویربرداری از نمونه‌ی پودری پلیمر  $[ZnCl_2(L^{NPI})]_n$  استفاده شد. پس از قرار دادن نمونه در محفظه‌ی دستگاه، اتمسفر داخل ستون میکروسکوپ به کمک پمپ‌های موجود به خلاً مناسب رسید و برتو الکترونی تولید و توسط لنزهای الکترومغناطیسی، باریک شده و نمونه توسط پرتوها روبش گردید. در نتیجه‌ی این روبش، سیگنال‌های مناسب تولید و

به صورت دو شاخه در شکل ۱۴ الف نمایش داده شده است. در میان سایر برهم‌کنش‌های غیرکووالانسی نیز برهم‌کنش  $\pi$ – $\pi$  بین C-H و  $\text{CH}^{\cdots}\pi$  میان گروه آمیدی با فاصله‌ی  $3.813\text{ \AA}$  (انگستروم)، سهم قابل ملاحظه‌ای ( $17.6\%$  درصد) در انباستگی بلور دارد. نمودار اثر انگشتی ناشی از این برهم‌کنش در شکل ۱۴ ب نشان داده شده است. سایر برهم‌کنش‌ها در ساختار پلیمری ترکیب سهم کمتری در انباستگی ترکیب دارند. در شکل ۱۵، درصد توزیع برهم‌کنش‌های مختلف در  $[\text{ZnCl}_2(\text{L}^{\text{NPI}})]_n$  نشان داده شده است که  $\text{H}^{\cdots}\text{H}$  ( $30.8\%$ ),  $\text{Cl}^{\cdots}\text{H}$  ( $19.0\%$ ),  $\text{C}^{\cdots}\text{H}$  ( $17.6\%$ ),  $\text{O}^{\cdots}\text{C}$  ( $4.8\%$ ),  $\text{N}^{\cdots}\text{Zn}$  ( $6.2\%$ ),  $\text{O}^{\cdots}\text{H}$  ( $3.6\%$ ),  $\text{C}^{\cdots}\text{Cl}$  ( $1.2\%$ ),  $\text{O}^{\cdots}\text{C}$  ( $2.5\%$ ),  $\text{C}^{\cdots}\text{H}$  ( $0.7\%$ ) هستند.

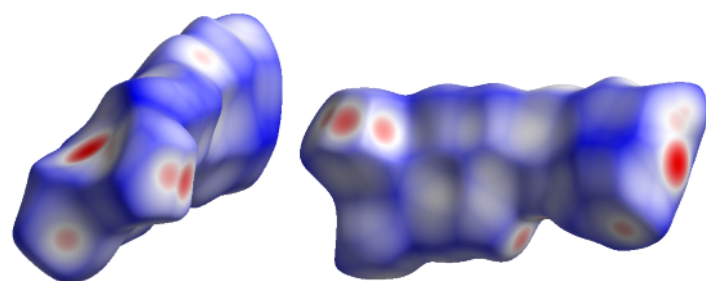
سطحه که اطلاعاتی درباره‌ی همه برهم‌کنش‌های بین‌مولکولی در ساختار، نوع و درصد برهم‌کنش‌ها می‌دهد برای ترکیب در گستره‌ی  $1.208 - 0.580\text{ \AA}$  رسم شد. تحلیل سطح هرشفلد برای این کمپلکس حضور پیوندهای هیدروژنی و سایر برهم‌کنش‌ها و درصد مشارکت آن‌ها را در انباستگی بلوری  $[\text{ZnCl}_2(\text{L}^{\text{NPI}})]_n$  مشخص نمود. چنان‌که در شکل ۱۳ نشان داده شده است، در این ترکیب برهم‌کنش هیدروژنی  $\text{Zn}^{\cdots}\text{H}-\text{Cl}^{\cdots}\text{H-N}$  با کوتاهترین فاصله ( $2.353\text{ \AA}$  آنگستروم) از عوامل اصلی در هدایت و کنترل انباستگی است. دو زنجیره‌ی پلیمری از طریق برهم‌کنش هیدروژنی بین  $\text{Zn-Cl}$  یک زنجیره با N- $\text{H}$  زنجیره‌ی کناری منجر به گسترش چارچوب ساختاری این ترکیب می‌شود. این برهم‌کنش در نمودار اثر انگشتی ترکیب



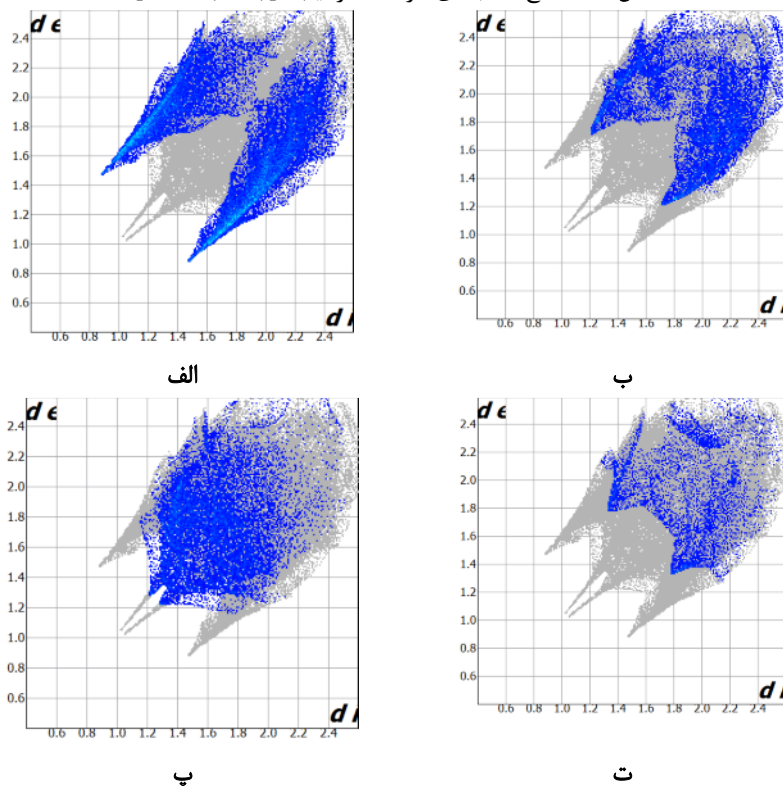
شکل ۱۱ برهم‌کنش‌های غیر کووالانسی در ساختار بلوری انباسته‌ی کمپلکس  $[\text{ZnCl}_2(\text{L}^{\text{NPI}})]_n$ : (الف) برهم‌کنش هیدروژنی  $\text{Zn-Cl}^{\cdots}\text{H-N}$  لیگاندهای دو زنجیر کنار هم و (ب) برهم‌کنش هیدروژنی  $\text{C-H}^{\cdots}\text{O}$  لیگاندهای دو زنجیر کنار هم.



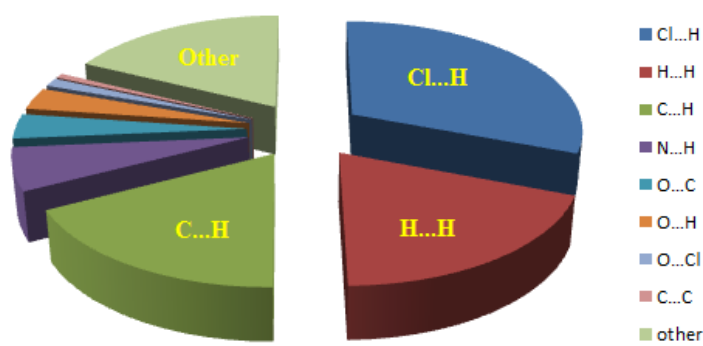
شکل ۱۲ تصاویر میکروسکوپ الکترونی رویشی (SEM) از پلیمر  $[\text{ZnCl}_2(\text{L}^{\text{NPI}})]_n$  با مقیاس‌های (الف)  $2\text{ }\mu\text{m}$  و (ب)  $200\text{ nm}$ .



شکل ۱۳ سطح سه بعدی هرشفلد ترکیب  $[ZnCl_2(L^{NPI})]_n$



شکل ۱۴ نمودارهای دوبعدی اثر انگشتی ترکیب پلیمری  $[ZnCl_2(L^{NPI})_n]$  (الف) برهم کنش (N...H...Cl...) ب) برهم کنش H...C...NPI، (پ) برهم کنش N...H...H...NPI



شکل ۱۵ تحلیل سطح هرشفلد و درصد برهم کنش‌های بین‌مولکولی در حالت جامد ترکیب پلیمری  $[ZnCl_2(L^{NPI})_n]$ .

جذب گاز هیدروژن

لیگاند آزاد و همچنین لیگاند کئوردینه شده به  $\text{ZnCl}_2$  بر اساس تحلیل NBO بررسی شد. چگالی الکترونی محاسبه شده برای همه اتم‌ها در جدول‌های ۶ و ۷ آورده شده است. براساس نتایج به دست آمده، با کئوردینه شدن لیگاند  $\text{L}^{\text{NPI}}$  به فلز تغییراتی در ساختار الکترونی لیگاند ایجاد می‌شود. بیشترین تغییرات مشاهده شده مربوط به مکان کئوردینه شدن فلز به لیگاند است، در حالی که منطقه‌ی آمیدی تغییر چندانی را نشان نمی‌دهد. افزایش چگالی الکترونی روی اتم N<sub>1</sub> در کمپلکس حدود ۰,۳۷۱ است که با کئوردینه شدن حلقه ایزونیکوتینیل به فلز و پدیده‌ی  $\pi$ -برگشتی بین حلقه‌ی آروماتیک و مرکز فلزی صورت می‌گیرد. اتم‌های هیدروژن متصل به کربن‌های کنار اتم نیتروژن کئوردینه شده به فلز نیز به دلیل مجاورت با اتم‌های کلر و تشکیل پیوندهای هیدروژنی ضعیف C-H...Cl، دچار کاهش چگالی بار شده‌اند. سطوح انرژی بالاترین اوربیتال مولکولی اشغال شده و پایین‌ترین اوربیتال مولکولی خالی لیگاند در حالت آزاد و کئوردینه محاسبه شد. چنان‌که در شکل ۱۶ نشان داده شده است، در ساختار لیگاند آزاد اوربیتال‌ها در کل ساختار پخش شده‌اند که می‌توان آن را به وجود  $\pi$  نامستقر در کل ساختار مربوط دانست. پایین‌ترین اوربیتال پر در کمپلکس نیز روی حلقه ایزونیکوتینیل نشان دهنده تمایل آن برای کئوردینه شدن است. ساختار کمپلکس نیز با روش‌های محاسباتی بهینه گردید و طول پیوندهای محاسباتی ساختار با طول پیوندهای به دست آمده برپایه بلورشناسی با پرتوی ایکس مقایسه و در جدول ۸ گزارش شد. چنان‌که دیده می‌شود، همخوانی خوبی بین مقادیر نظری و تجربی وجود دارد.

چنان‌که اشاره شد، استفاده از مواد با توانایی جذب سطحی گاز هیدروژن می‌تواند ما را از مصرف سوخت‌های فسیلی بی نیاز گرداند. در این پژوهش برای اندازه‌گیری میزان جذب گاز هیدروژن توسط نمونه، ۰,۵ گرم از نمونه پلیمری به مدت ۲ ساعت برای گاززدایی در کوره با دمای ۲۰۰ درجه سانتی‌گراد قرار داده شد و سپس بررسی جذب گاز در دمای اتاق انجام گردید. نتایج نشان داد که در ساختار این ترکیب پلیمری، حفره‌های ناشی از تشکیل پیوند هیدروژنی بین زنجیرهای پلیمری سبب جذب ۱,۳۱۷ میلی مول گاز هیدروژن در یک گرم از پلیمر شده است. در مقایسه با جذب گاز هیدروژن توسط چارچوب‌های فلز-آلی در دمای اتاق، مقدار جذب گاز در ترکیب تهیه شده قابل ملاحظه بوده و مشابه با مقادیر گزارش شده برای ترکیب MOF-5 است [۴۰].

#### بررسی نتایج محاسبات نظری

مهم‌ترین عامل در کنترل آرایش مولکول‌ها، در یک ساختار بلوری برهم‌کنش‌های بین‌مولکولی است. در ترکیب‌های با بیش از یک نوع برهم‌کنش غیرکووالانسی، برهم‌کنش‌ها برهم‌افزارند و رقابت بین آن‌ها ساختار نهایی را تعیین می‌کند. مقایسه‌ی قدرت برهم‌کنش‌های بین‌مولکولی در شناسایی بلور و انباستگی ساختار بلوری اهمیت دارد. در این پژوهش، پس از تعیین دقیق ساختار مولکولی کمپلکس کئوردیناسیونی با استفاده از پراش پرتو ایکس و تحلیل سطوح هیرشفلد، ساختار کمپلکس روش‌های محاسباتی بررسی شد. برای این منظور، نخست با محاسبات DFT، ساختار لیگاند  $\text{L}^{\text{NPI}}$  با گروه نقطه‌ای C<sub>1</sub> و گشتاور دوقطبی ۱,۵۵۷۹ به روش B3LYP و تابع پایه B3LYP/6-311G(d, P) بهینه گردید و سپس با روش B3LYP/6-311G(d, P) ویژگی‌های الکترونی لیگاند، توزیع بار الکترونی

جدول ۶ توزیع چگالی بار الکترونی محاسبه شده بر اتم‌های لیگاند آزاد  $\text{L}^{\text{NPI}}$  و لیگاند کئوردینه شده به فلز.

atom	لیگاند آزاد	لیگاند کئوردینه شده به فلز
N1	-0,280	-0,651
C1	0,071	0,177
H(C1)	0,117	0,180
C2	-0,164	-0,175
C3	-0,074	-0,052
C4	-0,122	-0,136
C5	0,074	0,177
H(C5)	0,120	0,182
C6	0,423	0,442

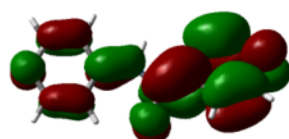
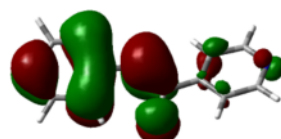
O	-0,347	-0,337
N2	-0,460	-0,458
H(N2)	0,225	0,227
C7	0,274	0,270
C8	-0,215	-0,213
C9	0,068	0,072
N3	-0,294	-0,288
C10	0,063	0,066
C11	-0,180	-0,177

جدول ۷ اختلاف انرژی محاسبه شده بین سطوح اوربیتالی در ساختار لیگاند آزاد  $L^{NPI}$  و کمپلکس کثوردینه بر حسب Kcal/mol.

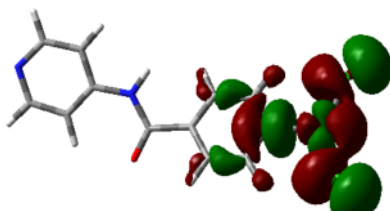
اختلاف سطح انرژی	انرژی پایین ترین اوربیتال مولکولی خالی	اشغال شده	انرژی بالاترین اوربیتال مولکولی	
			لیگاند آزاد	[ZnCl <sub>2</sub> (L <sup>NPI</sup> )] <sub>n</sub>
	165,685	48,211	117,474	
	174,357	78,544		95,813

پایین ترین اوربیتال مولکولی خالی (LUMO) بالاترین اوربیتال مولکولی پر (HOMO)

لیگاند آزاد



کمپلکس کثوردینه

شکل ۱۶ توزیع فضایی اوربیتال‌های لیگاند کربوکسامید  $L^{NPI}$  و کمپلکس  $[ZnCl_2(L^{NPI})]_n$  [بر حسب آ]جدول ۸ طول پیوندهای نظری و تجربی در کمپلکس  $[ZnCl_2(L^{NPI})]_n$  [بر حسب Å]

	تجربی	محاسباتی
Zn-Cl1	2,234	2,179
Zn-Cl2	2,210	2,176
Zn-N1	2,019	2,065
N1-C1	1,389	1,343
C1-C2	1,390	1,387
C2-C3	1,392	1,396
C3-C4	1,390	1,395
C4-C5	1,390	1,385

C3-C6	۱,۷۵۳	۱,۵۱۳
C6-O	۱,۲۳۱	۱,۲۱۵
C6-N2	۱,۳۵۸	۱,۳۷۳
N2-H	۰,۸۵۸	۱,۰۰۸
N2-C7	۱,۵۴۶	۱,۴۰۸
C7-C8	۱,۳۹۰	۱,۳۹۹
C8-C9	۱,۳۹۲	۱,۳۸۸
C9-N3	۱,۳۸۸	۱,۳۳۶
N3-C10	۱,۳۸۷	۱,۳۳۵
C10-C11	۱,۳۹۰	۱,۳۹۳
C11-C7	۱,۳۹۰	۱,۳۹۸

[5] Lee B., "Developments in inorganic crystal engineering", Chem. Soc. Rev., 33 (2004) 476–489.

[6] Moulton B., Zaworotko M., "From Molecules to Crystal Engineering: Supramolecular Isomerism and Polymorphism in Network Solids", Chem. Rev., 101 (2001) 1629 -1658.

[7] Braga D., Grepioni F., "Making crystals from crystals: a green route to crystal engineering and polymorphism ", Chem. Commun., 29 (2005) 3635-3645.

[8] Rahmani, M., Salimi, A., Mohammadzadeh, S., Sparkes, H. A., "The supramolecular effect of aromaticity on the crystal packing of furan thiophene carboxamide compounds ", CrystEngComm, 18 (2016) 8953-8960.

[9] Azadbakht A., Abbasi A. R., Derikvand Z., Morsali A., "Characterization of crystal structure of 4-(4H-1,2,4-Triazol-4-yl) phenol prepared by hydrothermal method", Iran J. Cryst. Miner., 24, (2016), 581-586

[10] Mukherjee A., "Building upon Supramolecular Synthons: Some Aspects of Crystal Engineerings", Cryst. Growth Des., 15 (2015) 3076–3085.

[11] Desiraju G. R., "Reflections on the Hydrogen Bond in Crystal Engineering", Cryst. Growth Des., 11 (2011) 896–898.

[12] Mukherjee G., Biradha K., "Dynamic Layered Coordination Polymer: Adsorption and Separation of Aromatics and I2 by Single Crystals", Cryst. Growth Des., 14 (2014) 3696–3699

[13] Blake A. J., Champness N. R., Hubberstey P., Li W.S., Withersby M. A., Schroder M., "Inorganic crystal engineering using self-assembly of tailored building-blocks" Coord. Chem. Rev., 183 (1999) 117–138.

[14] Mukhejee G., Biradha K., "Crystal Engineering Studies with Monocarboxamidoalkanes Having C- or N-

#### برداشت

در این پژوهش، لیگاند کربوکسامیدی  $L^{NPI}$  و پلیمر کثوردیناسیونی یک بعدی  $[ZnCl_2(L^{NPI})_n]$  تهیه شد و ساختار پلیمر کثوردیناسیونی تعیین گردید. سرانجام، اثر برهمکنش‌های بین‌مولکولی در ساختار بلوری پلیمر بررسی شد. نتایج به دست آمده از بررسی ساختار بلوری و تحلیل هرشفلد نشان داد که در ساختار پلیمری کمپلکس کثوردیناسیونی، برهمکنش هیدروژنی  $Zn\cdots Cl\cdots H\cdots N$  نقش مهمی در انباستگی و پایداری ساختار بلوری ترکیب دارد.

#### قدرتانی

نویسندها، از حمایت‌های مالی معاونت پژوهش و فناوری دانشگاه فردوسی مشهد در انجام این پژوهه (با کد طرح ۳۴۱۹۱۸) صمیمانه قدردانی می‌کنند.

#### پیوست: داده‌های تکمیلی

اطلاعات کامل بلورشناسی ترکیب  $[ZnCl_2(L^{NPI})_n]$  در پایگاه ساختاری کمبریج (CSD) با شماره ۱۹۹۰۳۹۰ به ثبت رسیده و [www.ccdc.cam.ac.uk/conts/retrieving.html](http://www.ccdc.cam.ac.uk/conts/retrieving.html) از طریق آدرس قابل دریافت است.

#### مراجع

- [1] Desiraju G. R., "Crystal Engineering: A Holistic View", Angew. Chem. Int. Ed., 46 (2007) 8342-8356.
- [2] Desiraju G. R., "Crystal Engineering: From Molecule to Crystal", J. Am. Chem. Soc., 135 (2013) 9952–9967.
- [3] Althagbi H. I., Lane J. R., Saunders G. C., Webb S. J., "Engineering polar crystal structures by p-p stacking of N-perfluoroarylbenzimidazoles", J. Fluor. Chem., 166 (2014) 88–95.
- [4] Braga D., Desiraju, G. R., Miller, J. S., Orpen, A. G., Price, S. L., "Innovation in crystal engineering", CrystEngComm, 4, (2002) 500–509.

- from N-(4-Pyridyl)isonicotinamide*" Langmuir 20 (2004) 10413-10418.
- [26] CrysAlisPRO Software system, Version 1.171.39.31c. Rigaku Oxford Diffraction, Rigaku Corporation, Oxford, U. K. 2017.
- [27] Dolomanov, O.V., Bourhis, L.J., Gildea, R.J., Howard, J.A.K. & Puschmann, H., "OLEX2: a complete structure solution, refinement and analysis program" *J. Appl. Cryst.* 42, (2009) 339-341.
- [28] Sheldrick, G.M., "A short history of SHELX" *Acta Cryst. A*64, (2008) 112-122.
- [29] Sheldrick, G.M., "Crystal structure refinement with SHELXL" *Acta Cryst. C*71, (2015) 3-8.
- [30] Turner M. J., McKinnon J. J., Wolff S. K., Grimwood D. J., Spackman P. R., Jayatilaka D., Spackman M. A., CrystalExplorer 17, University of Western Australia, 2017.
- [31] Frisch, M. J. Gaussian 09, Revision A.1; Gaussian, Inc., Wallingford, CT, 2004.
- [32] Alizadeh M.H., Salimi A.R., "Density functional theory and Hartree-Fock studies: Geometry, vibrational frequencies and electronic properties of Anderson-type heteropolyanion,  $[XM_6O_{24}]^{n-}$  ( $X=Te^{VI}, I^{VII}$  and  $M=Mo, W$ ) and  $[Sb^VW_6O_{24}]^{7-}$ ", *Spectrochim. Acta* 65A (2006) 1104-1111.
- [33] Salehi H., Nazari H., "Calculation of electronic and structure properties of the semiconductor MgSe by using the FP-LAPW method", *Iran J. Cryst. Miner.*, 17 (2009) 489-496.
- [34] Jarzembska K. N., Hoser A. A., Kaminski R., Madsen A. Ø., Durka K., Wozniak K., "Combined Experimental and Computational Studies of Pyrazinamide and Nicotinamide in the Context of Crystal Engineering and Thermodynamics", *Cryst. Growth Des.* 14 (2014) 3453-3465.
- [35] Notash B., "Synthesis, characterization and crystal structure determination of new coordination polymers of cadmium (II) based on pyridine hydrazide ligands", *Iran J. Cryst. Miner.*, 26 (2019) 1001-1012.
- [36] Karimi Ahmadabad F., Pourayoubi M., Necas M., "Synthesis, crystal structure and Hirshfeld surface analysis of acidic salt [4-methyl phenyl ammonium][(O-phenyl) (hydroxyl) phosphate], [4-CH<sub>3</sub>-C<sub>6</sub>H<sub>4</sub>NH<sub>3</sub>][C<sub>6</sub>H<sub>5</sub>O]P(O)(O)(OH)]", *Iran J. Cryst. Miner.*, 25 (2017) 199-206.
- [37] Samie A., Salimi A., "Orientation-dependent conformational polymorphs in two similar pyridine / pyrazine phenolic esters", *CrystEngComm*, 21 (2019), 3721-3730.
- Terminal Pyridine and Their Coordination Complexes" Cryst. Growth Des.*, 11 (2011) 5649-5658.
- [15] Biradha K., "Crystal engineering: from weak hydrogen bonds to co-ordination bonds", *CrystEngComm*, 5 (2003) 374-384.
- [16] Braga D., Maini L., Polito M., Grepioni F., "Hydrogen bonding interactions between ions: A powerful tool in molecular crystal engineering", *Struct. Bond.*, 111 (2004) 1-32.
- [17] Steed J. W., Atwood J. L., "Supramolecular Chemistry", Wiley, Chichester, U. K., 2000
- [18] Amani A., Derikvand Z., Azadbakht A., Notash B., "Synthesis, characterization and crystal structure of a co-crystal compound including 4,4'-bipyridine, 3-nitrophthalic acid (in persian)" *Iran J. Cryst. Miner.*, 25 (2017) 207-212.
- [19] Arunan E., Desiraju G. R., Klein R. A., Sadlej J., Scheiner S., Alkorta I., Clary D. C., Crabtree R. H., Dannenberg J., Hobza P., Kjaergaard H. G., Legon A. C., Mennucci B., Nesbitt D. "Definition of the hydrogen bond (IUPAC recommendations 2011)", *Pure Appl. Chem.*, 83 (2011) 1637-1641.
- [20] Kitagawa S., Kitaura R., Noro S., "Functional Porous Coordination Polymers" *Angew. Chem. Int. Ed.*, 43 (2004) 2334-2375.
- [21] Kubota Y., Takata M., Matsuda R., "Direct Observation of Hydrogen Molecules Adsorbed onto a Microporous Coordination Polymer" *Angew. Chem. Int. Ed.*, 44 (2005) 920-923.
- [22] Khavasi H. R., Mir Mohammad Sadegh B., "Effect of robust  $\pi$ - $\pi$  stacking synthon on the formation of mercury coordination compounds; an unusual pseudo-square planar geometry", *Dalton Trans.*, 43 (2014) 5564-5573.
- [23] Hadad zade H., Rezvani A. R., "Crystal Structure of Trans-[bis(2,5-dichlorophenylcyanamido)-{N,N'-propanediylbis(2,3-butadien-2-imine-3-oxime)} Cobalt(III)], trans-[Co((DO)(DOH)pn)(2,5-Cl<sub>2</sub>pcyd)2]", *Iran J. Cryst. Miner.*, 12 (2004) 273-284.
- [24] Khavasi H. R., Ghanbarpour A. R., Azhdari Tehrani A., "The role of intermolecular interactions involving halogens in the supramolecular architecture of a series of Mn(II) coordination compounds", *RSC Adv.*, 6 (2016) 2422-2430.
- [25] Krishna Kumar D., Amilan Jose D., Dastidar P., Das A., "Nonpolymeric Hydrogelator Derived

(PCP) bearing organocatalytic ligand: a promising dual catalytic center for ultrasonic heterocycle synthesis", Ultrasonics - Sonochemistry 58 (2019) 104653.

[40] Rostami S., Nakhaei Pour A., Salimi A., Abolghasempour A., " Hydrogen adsorption in metal- organic frameworks (MOFs): Effects of adsorbent architecture", Int. J. Hydrog. Energy, 43 (2018) 7072-7080.

- [38] Tanaka, D., Henke, A., Albrecht, K., Moeller, M., Nakagawa, K., Kitagawa, S., & Groll, J., "Rapid preparation of flexible porous coordination polymer nanocrystals with accelerated guest adsorption kinetics". Nature Chemistry, 2(5), (2010) 410–416.
- [39] Panahi, P., Nouruzi, N., Doustkhah, E., Mohtasham, H., Ahadi, A., Ghiasi-Moaser, A., Rostamniaa A., Mahmoudi G., Khataee A., " O Zirconium based porous coordination polymer